

FIG. 1.

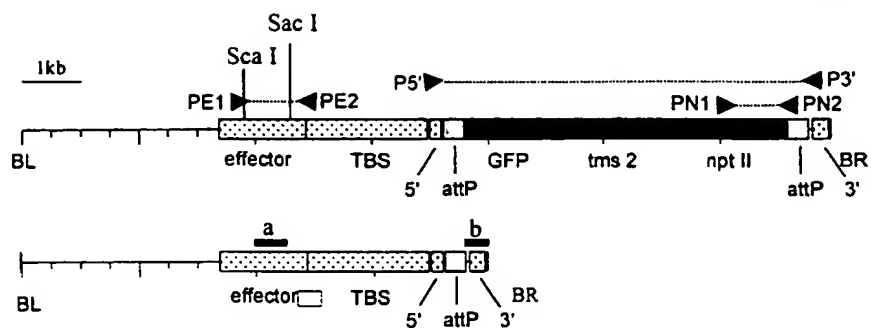
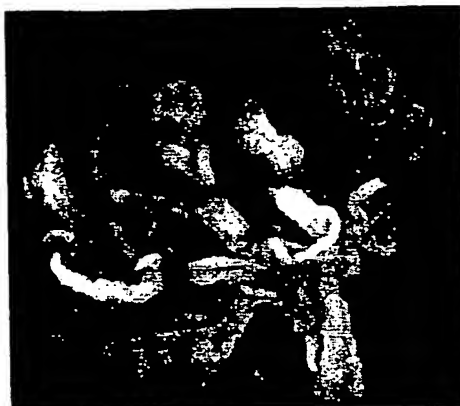


Fig. 2.

A



B

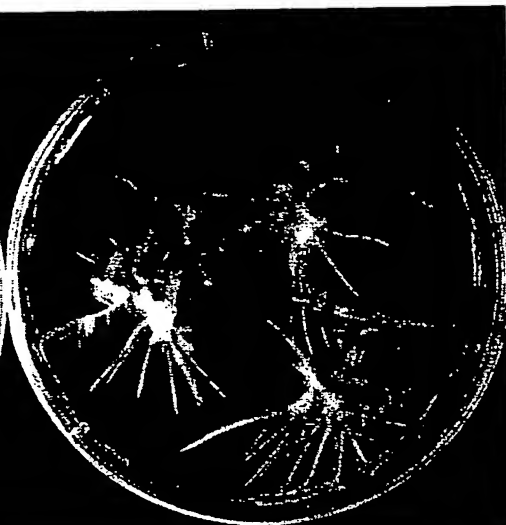
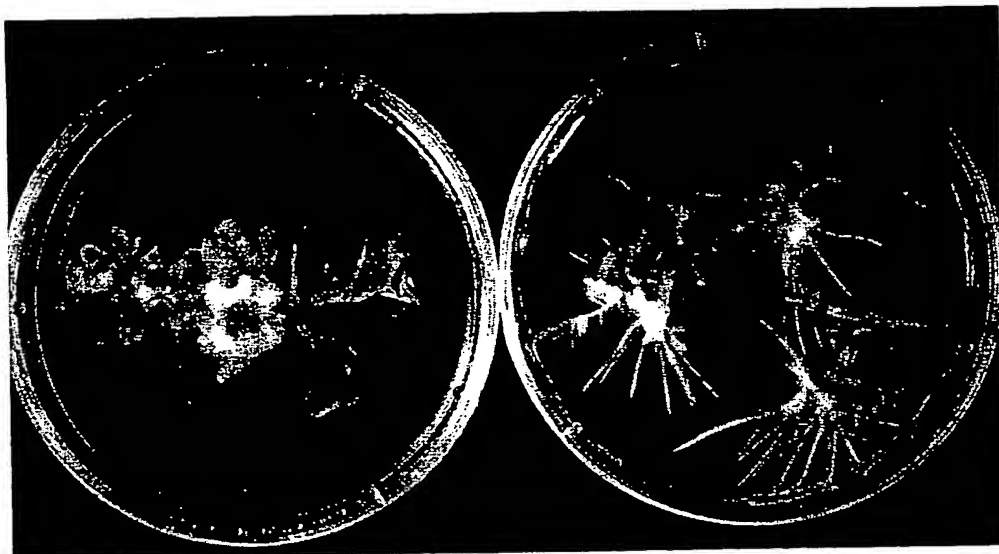
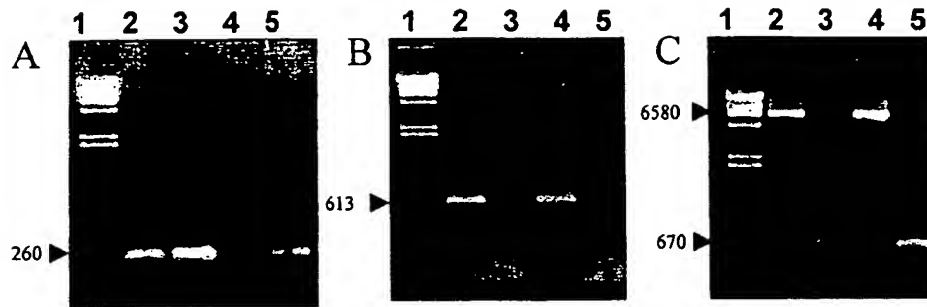


Fig. 3.



D

5' attP (352bp)

ATCCACTAGCCACGACAGGTAAGATTATCGGATCCCGAGCTTTGCACTGGATTGCGAGGCTTTGTGCTTCTCTGGAGTGC

GACAGGTTTGATGACAAAAAATTAGCGCAAGAAGACAAAAATCACCTTGCCTAATGCTCTGTTACAGGTCACCTAATACC

ATCTAAGTAGTTGATTCATAGTGACTGCATATGTTGTGTTTTACAGTATTATGTAGTCTGTTTTTATGCAAAATCTAAT

TTAATATATTGATATTTATATCATTTTACGTTTCTCGTTCAGCTTTTTTATACTAAGTTGGCATTATAAAAAAGCATTGC

TTATCAATTTGTTGCAACGAACAGGTCACCTATCAGTCAAAATAAAATCATTATTTGATTTCAATTTTGGACCCAAGCTT

3'

TTTTTGGCTAACATTTTCCATGGTTTTATGATCTAGTGGCCTATGCGGCCGCGGATCTGAAGACTTGTGTTTACAATTTT

TTATATTTGTTTTTAAGTTTTGAATATATGTTTTCATGTGTGATTTTACCGAACAAAAATACCGGTTCCCGTCCGATTTT

GATTTAACCCGACCGGATCGTATCGGTTTTTCGATTACCGTATTTATCCCGT

FIG. 4.

